

# **Лабораторная работа №4**

**Модель гармонических колебаний**

Сунгурова Мариян Мухсиновна

# Содержание

<b>1</b>	<b>Цель работы</b>	<b>4</b>
<b>2</b>	<b>Задание</b>	<b>5</b>
<b>3</b>	<b>Теоретическое введение</b>	<b>6</b>
<b>4</b>	<b>Выполнение лабораторной работы</b>	<b>7</b>
4.1	Программная реализация модели гармонического осциллятора .	7
4.2	Колебания гармонического осциллятора с затуханием и без действий внешней силы. Сравнение графиков . . . . .	10
4.3	Колебания гармонического осциллятора с затуханием и без действий внешней силы . . . . .	11
4.4	Колебания гармонического осциллятора с затуханием и под действием внешней силы . . . . .	13
<b>5</b>	<b>Выводы</b>	<b>14</b>
	<b>Список литературы</b>	<b>15</b>

## Список иллюстраций

4.1	Колебания гармонического осциллятора без затуханий и без действий внешней силы. Julia . . . . .	11
4.2	Колебания гармонического осциллятора без затуханий и без действий внешней силы. OpenModelica . . . . .	11
4.3	Колебания гармонического осциллятора с затуханием и без действий внешней силы. Julia . . . . .	12
4.4	Колебания гармонического осциллятора с затуханием и без действий внешней силы. OpenModelica . . . . .	12
4.5	Колебания гармонического осциллятора с затуханием и под действием внешней силы. Julia . . . . .	13
4.6	Колебания гармонического осциллятора с затуханием и под действием внешней силы. OpenModelica . . . . .	13

# 1 Цель работы

Исследовать математическую модель гармонического осциллятора.

## 2 Задание

Постройте фазовый портрет гармонического осциллятора и решение уравнения гармонического осциллятора для следующих случаев

1. Колебания гармонического осциллятора без затуханий и без действий внешней силы  $\ddot{x} + 1.5x = 0$
2. Колебания гармонического осциллятора с затуханием и без действий внешней силы  $\ddot{x} + 0.8\dot{x} + 3x = 0$
3. Колебания гармонического осциллятора с затуханием и под действием внешней силы  $\ddot{x} + 3.3\dot{x} + 0.1x = 0.1\sin(3t)$

На интервале  $t \in [0; 46]$  (шаг 0.05) с начальными условиями  $x_0 = 0.1$ ,  $y_0 = -1.1$

### 3 Теоретическое введение

Гармонические колебания выделяются из всех остальных видов колебаний по следующим причинам: - Очень часто малые колебания, как свободные, так и вынужденные, которые происходят в реальных системах, можно считать имеющими форму гармонических колебаний или очень близкую к ней. - Как установил в 1822 году Фурье, широкий класс периодических функций может быть разложен на сумму тригонометрических компонентов — в ряд Фурье. Другими словами, любое периодическое колебание может быть представлено как сумма гармонических колебаний с соответствующими амплитудами, частотами и начальными фазами. Среди слагаемых этой суммы существует гармоническое колебание с наименьшей частотой, которая называется основной частотой, а само это колебание — первой гармоникой или основным тоном, частоты же всех остальных слагаемых, гармонических колебаний, кратны основной частоте, и эти колебания называются высшими гармониками или обертонами — первым, вторым и т.д. - Для широкого класса систем откликом на гармоническое воздействие является гармоническое колебание (свойство линейности), при этом связь воздействия и отклика является устойчивой характеристикой системы. С учётом предыдущего свойства это позволяет исследовать прохождение колебаний произвольной формы через системы.

## 4 Выполнение лабораторной работы

### 4.1 Программная реализация модели гармонического осциллятора

Запишем функцию для решения модели линейного гармонического осциллятора.

Интервал  $t \in [0; 46]$  (шаг 0.05) с начальными условиями  $x_0 = 0.1$ ,  $y_0 = -1.1$ . В Julia:

```
//Начальные условия и параметры
```

```
tspan = (0, 46)
```

```
p1 = [0, 1.5]
```

```
p2 = [0.8, 3]
```

```
p3 = [3.3, 0.1]
```

```
du0 = [-1.1]
```

```
du = [0.1]
```

```
//без действий внешней силы
```

```
function harm_osc(du,u,p,t)
```

```

g,w = p
du[1] = u[2]
du[2] = -w^2 .* u[1] - g.*u[2]
end

//внешняя сила
f(t) = 0.1sin(3*t)

//с действием в нешной силы
function forced_harm_osc(du,u,p,t)
    g,w = p
    du[1] = u[2]
    du[2] = -w^2 .* u[1] - g.*u[2] .+f(t)
end

```

Для задания воспользуемся функцией SecondOrderODEProblem:

```

problem1 = ODEProblem(harm_osc, [0.8, -1], tspan, p1)
solution1 = solve(problem1, Tsit5(), saveat=0.05)
problem2 = ODEProblem(harm_osc, [0.8, -1], tspan, p2)
solution2 = solve(problem2, Tsit5(), saveat=0.05)
problem3 = ODEProblem(forced_harm_osc, [0.8, -1], tspan, p3)
solution3 = solve(problem3, Tsit5(), saveat=0.05)

```

Также зададим эту модель в OpenModelica. Модель для колебания без затухания и без действия внешних сил:

```

model lab4

```

```

Real x(start=0.8);

```



```

Real y(start=-1);

parameter Real w=1.5;
parameter Real g=0;

equation
der(x) = y;
der(y) = -w^2*x-g*y;

end lab4;

```

Модель для колебания с затуханием и без действия внешних сил:

```

model lab4_

Real x(start=0.8);
Real y(start=-1);

parameter Real w=3.0;
parameter Real g=0.8;

equation
der(x) = y;
der(y) = -w^2*x-g*y;

end lab4_;

```

Модель для колебания с затуханием и действием внешних сил:

```

model lab4

```

```

Real x(start=0.1);
Real y(start=-1.1);

parameter Real w=0.1;
parameter Real g=3.3;

Real p;

equation
der(x) = y;
der(y) = -w^2*x-g*y;
p=0.1*sin(3*time);

end lab4;

```

## 4.2 Колебания гармонического осциллятора с затуханием и без действий внешней силы. Сравнение графиков

Графики решений, полученные с помощью OpenModelica и Julia идентичны(рис. fig. 4.1, fig. 4.2):

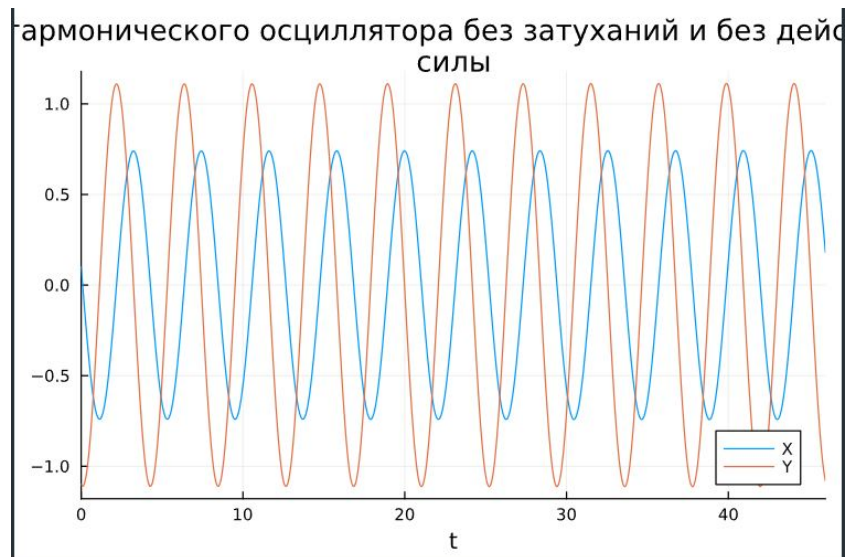


Рис. 4.1: Колебания гармонического осциллятора без затуханий и без действий внешней силы. Julia

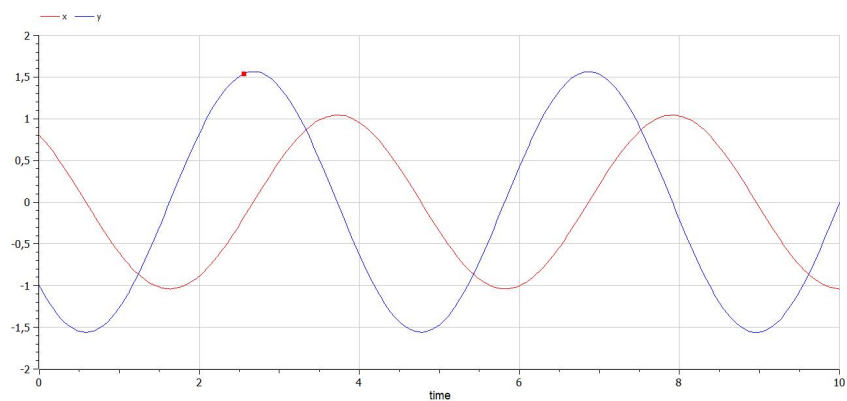


Рис. 4.2: Колебания гармонического осциллятора без затуханий и без действий внешней силы. OpenModelica

Можно видеть, что колебание осциллятора периодически, график не задухает.

### 4.3 Колебания гармонического осциллятора с затуханием и без действий внешней силы

Графики, полученные с помощью OpenModelica и Julia идентичны(рис. fig. ??, fig. ??):

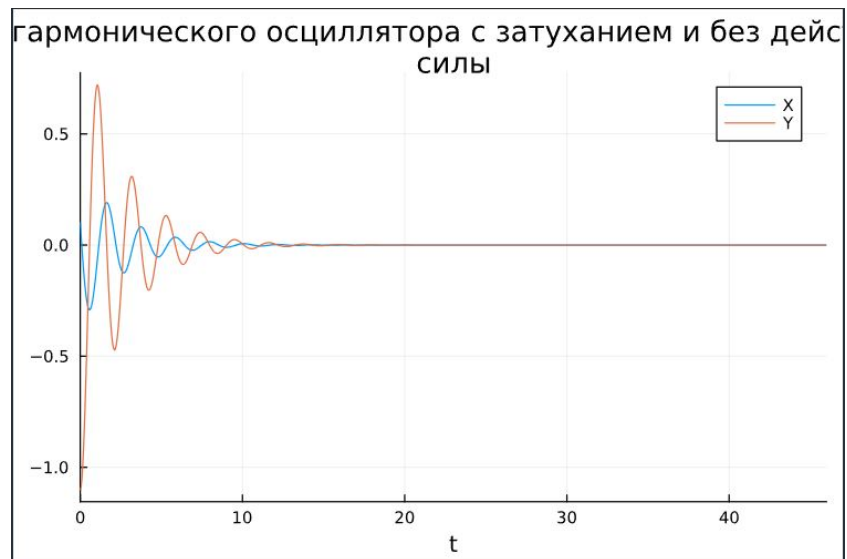


Рис. 4.3: Колебания гармонического осциллятора с затуханием и без действий внешней силы. Julia

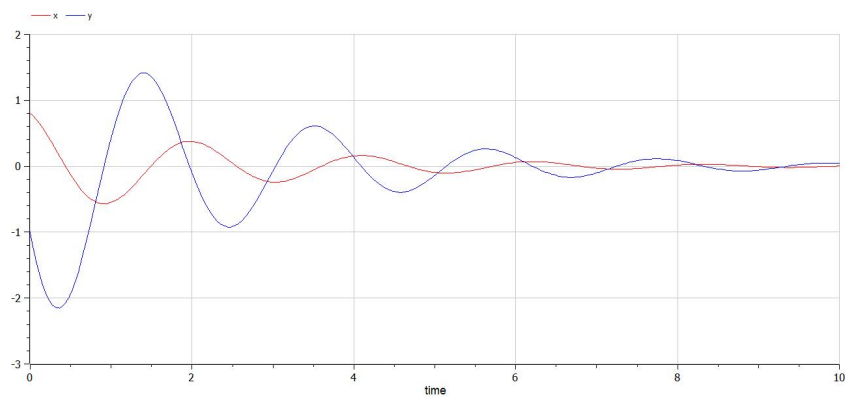


Рис. 4.4: Колебания гармонического осциллятора с затуханием и без действий внешней силы. OpenModelica

Можно видеть, что сначала происходят колебания осциллятора, а затем график затухает.

## 4.4 Колебания гармонического осциллятора с затуханием и под действием внешней силы

Графики, полученные с помощью OpenModelica и Julia идентичны(рис. fig. 4.5, fig. ??):

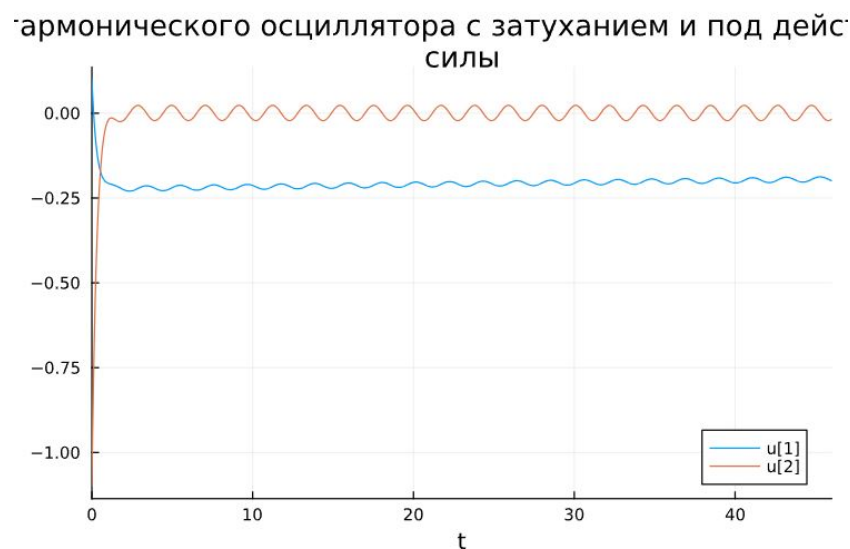


Рис. 4.5: Колебания гармонического осциллятора с затуханием и под действием внешней силы. Julia

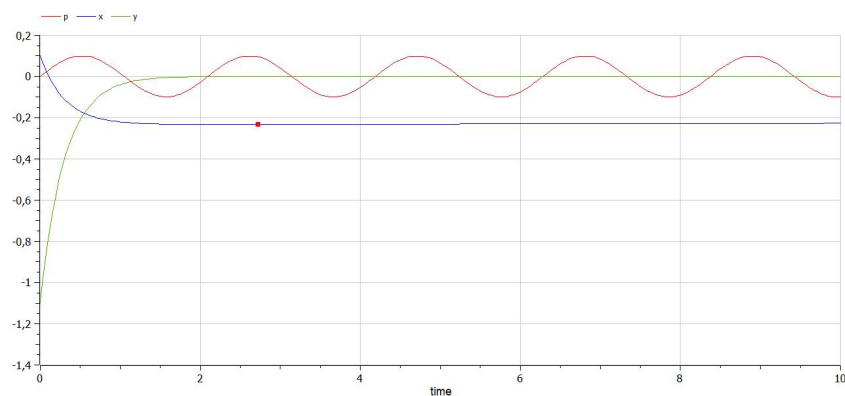


Рис. 4.6: Колебания гармонического осциллятора с затуханием и под действием внешней силы. OpenModelica

Можно увидеть, что система приходит в состояние равновесия, период колебаний больше, чем в первом случае, так как затухание замедляет его.

## 5 Выводы

Построили математическую модель гармонического осциллятора и провели анализ.

## **Список литературы**